

гою з привідним барабаном, до якого кріпляться зразки робочих органів, запропонований пристрій на підставі інженерних та економічних розрахунків має матеріалоємність відповідно 0,001 т/га та 0,003 т/га, енергоємність 28 кВт/га та 66,6 кВт/га і питомі капіталовкладення відповідно 189,31 грн./га та 242,95 грн./га.

Таким чином, запропонований пристрій значно дешевший при виготовленні в порівнянні з ґрутовим каналом, забезпечує прямо-лінійність і точність витримки глибини обробки в порівнянні з пристроєм, який складається з двох барабанів з тяговим тросом, а використання трактора Т-150К з пропонованим пристроєм в якості енергетичного засобу значно скороочує витрати енергії, так як використовується тільки при проведенні випробування, а основне його призначення — виконання сільськогосподарських операцій в господарстві.

УДК 631.355.072

## НОВА КОНСТРУКЦІЯ КАЧАНООЧИСНОГО МЕХАНІЗМУ З ПНЕВМАТИЧНИМ ПРИСТРОЄМ

*Д.В.Кузенко, кандидат технічних наук, доцент*

*Л.М.Кузенко, кандидат технічних наук*

*Миколаївський державний аграрний університет*

*Описано конструкцію пневматичного качаноочисного механізму, а також методику визначення параметрів повітряного струменя.*

*Описана конструкция пневматического початкоочистительного механизма, а также методика определения параметров воздушного потока.*

### **Постановка проблеми.**

Аналіз відомих конструкцій качаноочисних апаратів [1] і технологічних процесів їх роботи показує, що всі вони, не дивлячись на наявність великого набору різних механічних робочих елементів і пристосувань, не відрізняються універсальністю і не можуть забезпечити без пошкодження качанів повного відділення обгортки

з їх поверхні. Для вирішення цієї важливої і складної проблеми необхідні принципово нова технологія і робочі органи з оригінальними і ефективними робочими елементами, які б забезпечували повну очистку качанів від обгортки.

### **Аналіз останніх досліджень.**

Результати теоретичних і експериментальних досліджень двохвальцевих качаноочисних механізмів представлени в роботах Гриня В.О., Анісімової Л.І., Бондарєва В.Т., Карпуші П.П. Найбільш повно вивчено питання силової взаємодії качанів з вальцями, обґрунтування їх конструктивних та кінематичних параметрів. Інші конструкції качаноочисних механізмів не досліджувались. Не приділено уваги створенню механізмів багатофакторної дії.

### **Мета досліджень.**

Обґрунтування параметрів повітряного струменю для використання в технологічному процесі очищення качанів кукурудзи від обгортки.

### **Результати досліджень.**

Як уже відмічалося [1], суттєвою відмінністю технологічного процесу качаноочисного механізму нової конструкції є взаємодія качана з очисним вальцем та протирізальною пластиною, яка створює зусилля різання, направлене по дотичній до циліндричної поверхні стрижня качана. Проте, як і у випадку двохвальцевої схеми, так і в новій конструкції, підвищення ефективності процесу відокремлення обгортки від стрижня качана приводить до необхідності вирішення технічного протиріччя, яке полягає в тому, що інтенсивність механічного впливу на качан обмежена допустимим рівнем його пошкоджень. І в більшості випадків воно вирішується, виходячи із умови зниження рівня травмованості качанів.

Пошуки шляхів інтенсивності технологічного процесу очищення качанів від обгортки при збиранні кукурудзи на зерно [2], аналіз літературних джерел і результатів досліджень інших авторів [3,4] показали доцільність використання в цьому технологічному процесі енергії повітряного струменя. Це дає змогу забезпечити “м’який” режим роботи і в широких межах змінювати інтенсивність дії повітряного струменя на качан.

Проведені дослідження показали, що повітряний струмінь доцільно направити в зону взаємодії качана з протирізальною пластиною таким чином, щоб вектор сили тиску повітря співпадав з вектором сили різання [1]. При цьому вирішується триєдина задача: по-перше, — інтенсифікується процес руйнування зв'язків обгортки із стрижнем качана; по-друге, — знижується імовірність заклиновання качанів малих розмірів в робочій щілині “валець — протирізальна пластина” за рахунок постійного підпору повітряного струменя; по-третє, — покращуються умови руху обгортки із зони “основний валець — протирізальна пластина” в зону взаємодії основного і допоміжного валців.

Схема пневматичного качаноочисного механізму запропонованої конструкції представлена на рис.1. Механізм складається з основного 1 та допоміжного 3 валців і протирізальної пластини 4. Основний валець 1, взаємодіючи із качаном 2, змушує його обертатися навколо своєї осі і взаємодіяти із протирізальною пластиною 4, яка створює зусилля різання. Для підвищення інтенсивності дії на обгортку качана з тильної сторони до протирізальної пластини 4 прикріплено сопла 5, які створюють повітряний струмінь із відповідними характеристиками певної інтенсивності.

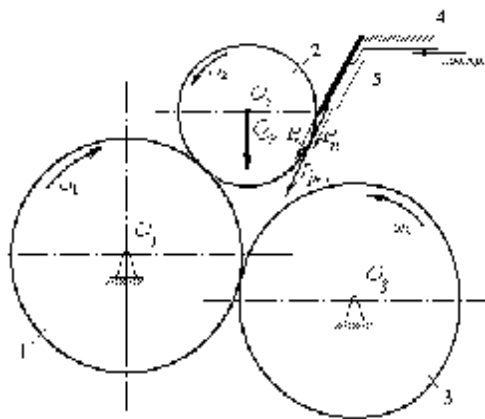


Рис.1. Схема качаноочисного механізму

Принцип роботи пневматичних робочих елементів для руйнування матеріалів, а в нашому випадку обгортки качана, побудований на активній дії повітряного струменя на матеріал. При цьому відбувається перетворення енергії тиску повітря в кінетичну енергію витікання, а далі кінетичної енергії витікання повітря із сопла в механічну енергію руйнування зв'язків обгортки із стрижнем качана. Силу аеродинамічного тиску повітряного струменя, що натікає на тверду поверхню, можна визначити з допомогою відомої теореми Ейлера, з якої виходить, що похідна по часу вектора кількості руху системи матеріальних точок дорівнює головному вектору всіх зовнішніх сил, які діють на систему, тобто:

$$\frac{d\bar{\kappa}}{dt} = -\bar{P}, \quad (1)$$

де  $\bar{P}$  — сила тиску струменя повітря на поверхню, Н.

Зміна моменту кількості руху  $D\bar{\kappa}$  за час  $Dt$

$$\bar{D\kappa} = \bar{\kappa}_1 - \bar{\kappa}_0, \quad (2)$$

де  $i$  — величини моментів кількості руху в кінцевому і початковому перерізах струменя повітря.

В загальному випадку кількість руху дорівнює

$$\bar{\kappa} = M \times \bar{V} \times Dt, \quad (3)$$

де  $M$  — маса повітря, що протікає через переріз в одиницю часу, кг/с;  $V$  — швидкість струменя повітря, м/с.

В той же час

$$M = r \times Q = r \times f \times \bar{V}, \quad (4)$$

де  $r$  — щільність повітря, кг/м<sup>3</sup>;

$Q$  — витрата повітря, м<sup>3</sup>/с;

$f$  — площа перерізу струменя, м<sup>2</sup>.

Підставляючи значення  $M$  в рівняння (3), отримаємо

$$\bar{\kappa} = r \times Q \times \bar{V} \times Dt. \quad (5)$$

Тоді із рівняння (2) отримаємо

$$\bar{\kappa} = (\mathbf{r} \times \mathbf{Q}_1 \times \bar{\mathbf{V}}_1 - \mathbf{r} \times \mathbf{Q}_0 \bar{\mathbf{V}}_0) \times \Delta t . \quad (6)$$

Розділивши вираз (6) на  $\Delta t$  і переходячи до границі, отримаємо:

$$\frac{d\bar{\kappa}}{dt} = \mathbf{r} \times \mathbf{Q}_1 \times \bar{\mathbf{V}}_1 - \mathbf{r} \times \mathbf{Q}_0 \bar{\mathbf{V}}_0 . \quad (7)$$

Замінивши ліву частину рівності на  $-\mathbf{P}$  і вирішуючи рівняння відносно  $\mathbf{P}$ , отримаємо:

$$\bar{\mathbf{P}} = \mathbf{r} \times (\mathbf{Q}_0 \times \bar{\mathbf{V}}_0 - \mathbf{Q}_1 \bar{\mathbf{V}}_1) . \quad (8)$$

Проектуючи векторне рівняння (8) на напрямок дії сили  $\bar{\mathbf{P}}$  на тверду нерухому плоску поверхню, отримаємо:

$$\mathbf{P} = \mathbf{M} \times \mathbf{V} = \mathbf{r} \times \mathbf{f} \times \mathbf{V}^2 . \quad (9)$$

Якщо струмінь повітря витікає під дією напору  $\Delta H$ , то швидкість  $\mathbf{V}$  визначиться наступним чином

$$\mathbf{V} = \sqrt{2 \frac{\Delta H}{r}} . \quad (10)$$

Відповідно, з урахуванням (10), вираз (9) перепишемо в такому виді

$$\mathbf{P} = 2\mathbf{f} \times \Delta H . \quad (11)$$

Значення сили тиску струменя повітря  $\mathbf{P}$  буде змінюватись залежно від орієнтації відокремленої “стружки” обгортки і буде максимальним, коли “стружка” обгортки буде забезпечувати поворот струменя повітря на  $180^0$ . При цьому сила тиску буде в два рази більшою, ніж на плоску поверхню, тобто  $\mathbf{P} \gg 4\mathbf{f} \times \Delta H$ .

Потужність, яку розвиває струмінь повітря, визначимо із умови, що при відділенні обгортки вона буде переміщуватись з деякою швидкістю  $\mathbf{V}_{\text{п}}$ , тобто  $\mathbf{N} = \mathbf{P} \times \mathbf{V}_{\text{п}}$ , або

$$\mathbf{N} = \mathbf{r} \times \mathbf{f} \times (\mathbf{V}^2 \times \mathbf{V}_n - \mathbf{V} \times \mathbf{V}_n^2). \quad (12)$$

Досліджуючи рівняння (12) на максимум, отримаємо

$$\frac{d\mathbf{N}}{d\mathbf{V}_n} = \mathbf{r} \times \mathbf{f} \times (\mathbf{V}^2 - 2\mathbf{V} \times \mathbf{V}_n) = \mathbf{0}; \quad (13)$$

$$\mathbf{V}_n = \frac{\mathbf{V}}{2}.$$

Як видно з (13), при взаємодії з плоскою поверхнею максимальне значення к.к.д. струменю повітря не може бути більше 0,5.

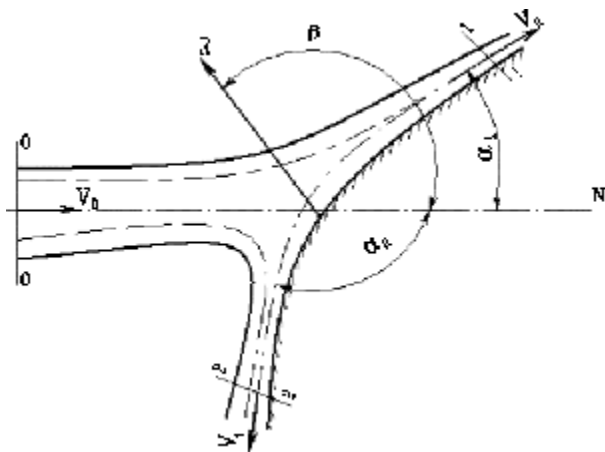


Рис.2. Схема до аналізу силової взаємодії струменю повітря і стрижня качана

Зусилля підпору качана, яке створює струмінь повітря в робочій зоні і яке запобігає його заклиниванню, визначимо шляхом складання рівняння кількості руху стосовно відсіку повітряного потоку, обмеженого перерізами 0-0, 1-1 і 2-2 в проекції на вісь N-N, що співпадає з напрямком дії повітряного струменю (рис.2). В загальному випадку рівняння зміни кількості руху

запишеться в такому виді

$$M_1 \times V_1 \times \cos a_1 + M_2 \times V_2 \times \cos a_2 - M_0 \times V_0 = R \times \cos b \times D_t, \quad (14)$$

де  $R$  — сила реакції поверхні стрижня качана, яка дорівнює по величині виштовхувальний силі, але протилежна по знаку.

Аналогічно (7) рівняння (14) можна переписати в такому виді

$$R = \frac{r}{\cos b} (Q_1 \times V_1 \times \cos a_1 + Q_2 \times V_2 \times \cos a_2 - Q_0 \times V_0). \quad (15)$$

Слід відмітити, що в рівнянні (15) присутні три невідомі величини:  $Q_1$  або  $Q_2$  (так як  $Q_1 + Q_2 = Q_0$ ),  $R$  і  $b$ . Тобто для визначення  $R$  величиною  $b$  необхідно задаватись (як регулювальний параметр), а перерозподіл потоків  $Q_1$  і  $Q_2$  визначиться експериментальним шляхом.

Не менш важливим є обґрунтування відстані розміщення сопла від поверхні качана. Як відомо [2], структура турбулентного повітряного струменю, що виходить і розповсюджується в необмежений повітряний простір нерухомого повітря, має наступні характерні параметри (рис.3):

- в початковому перерізі швидкість у всіх точках однакова і, відповідно, дорівнює осьовій швидкості  $V = V_0$ ;
- довжина початкової ділянки струменя, на якій швидкість струменя дорівнює початковій швидкості,

$$X_a = 0,335 \frac{d}{0,075} \quad (\text{або } X_a \gg (5...6)d);$$

- кут розширення струменя  $\alpha$  визначається із умови  $\operatorname{tg}\alpha = 0,255$ ;
- діаметр струменя в будь-якому перерізі дорівнює  $D_x = d + 6,8 \times x \times 0,075$ .

Таким чином, виходячи з наведених характеристик повітряного струменя, для ефективного використання енергії повітряного потоку необхідно, щоб бокова поверхня качана по відстані і ширині знаходилась в області початкової ділянки повітряного струменя. Так, при можливому розміщенні сопла на відстані 0,005 м від бокової поверхні качана і товщині стружки обгортки 0,003...0,005 м діа-

метр вихідного перерізу сопла повинен бути в межах 0,0025...0,003 м.



Рис.3. Структура повітряного струменя

## Висновки

1. Обґрунтовано доцільність і можливість використання в технологічному процесі очищення качанів від обгортки повітряного струменя в якості робочого елемента.
2. Наведена методика дозволяє з достатньою точністю для інженерних розрахунків визначити параметри повітряного струменя.
3. Подальші дослідження необхідно вести в напрямку теоретичного обґрунтування характеру взаємодії качана з пневматичним робочим елементом качаноочисного механізму, та експериментального дослідження величини зчеплення поверхні качана з робочою поверхнею основного валця.

## ЛІТЕРАТУРА

1. Кузенко Д.В. Сучасний стан та напрямки технологічного вдосконалення вітчизняних кукурудзозбиральних машин.// Праці Таврійської державної агротехнічної академії. -Вип.2.- 2001.
2. Кузенко Д.В., Кузенко Л.М. Дослідження динаміки взаємодії качана з робочими елементами качаноочисного маханізму. //Вісник Харківського ДТУСГ.- Вип. 20.
3. Черный Г.Г. Газовая динамика. -М.:Наука,1988.